米国における舗装の長期供用性デ・タのわだち掘れ分析

| 弓削富司夫1)・石谷雅彦2)・亀山修一3・笠原 第4

- 1) 正会員・大成ロテック株式会社(064-0913 札幌市中央区南1条西1丁目)
- 2)正会員・工学博士・大成ロテック株式会社(104-0031 東京都中央区京橋3-13-4)
- 3) 正会員・工学博士・北海道工業大学(006-8585 札幌市手稲区前田7条15丁目)
- 4) 正会員・工学博士・北海道工業大学(006-8585 札幌市手稲区前田7条15丁目)

LTPP(Long Term Pavement Performance)プログラムは、1987 年から SHRP 計画の一部として、合衆国において実施された。SHRP は 1992 年に終了するが、LTPP は 20 年計画であるところから、連邦道路局が引き続き、調査、デ - 夕の集積を実施している。本報告ではその成果である、DATA PAVE97 に記録されている、アスファルト舗装のわだち掘れ(Rutting)に着目し、その実体と因子について検討した結果を報告するものである。

KeyWords:LTPP、DATA PAVE、舗装の長期耐久性、わだち掘れ

1. 概要

LTPP(Long Term Pavement Performance)プログラムは、1987年から SHRP 計画の一部として、合衆国において実施された。SHRP は 1992年に終了するが、LTPP は 20年計画であるところから、連邦道路局が引き続き、調査、デ・タの集積を実施している。本報告ではその成果である、DATA PAVE97に記録されている、アスファルト舗装のわだち掘れ(Rutting)に着目し、その実体と因子について検討した結果を報告するものである。

LTPP プログラムでは、一般的な舗装の研究セクションである GPS(General Pavement Study)セクションと特定のテーマで舗装の研究を実施している SPS (Specific Pavement Study)セクションがある。各々のセクションは舗装の種類、構造等から9種類に細分されている。

DATA PAVE97には、専用のソフトが添付されているが、デ・タベースは MS-ACCESS で構築されており、内容の閲覧や、再構成等が可能な状態になっている。DATA PAVE97には、DP_80、IMS_80、FWD_80の3つのデータベースが含まれている。本報告では、FWD_80データベースについては対象としていない。以下対象としたデータベースの概要を示す。

(1)DP_80デ-タベース

DP_80 データベースには、全部で 28 個のテーブルがあり、各テーブルやフィールド名の定義、State_Code と州の対応、気象デ・タ、舗装の供用開始日、舗装の損傷デ・タ等の情報が含まれている。解析に当たっての基礎的な情報が記録されている。特に Data_Dictionary_80 には全てのデータベース上のテーブルに含まれる各々のフィールドについて詳細に定義されている。また、DP_CODES83 には各テーブルで使用される材料や工法、施工機械等のコードが記述されている。データの分析上この 2 つのテーブルは、特に重要なファイルである。

(2) I MS_80データベース

IMS_80 データベースには 265 個のテーブルがあり、以下のような情報が含まれている。

- a) AWS_*, ENV_* テーブル: セクションの気象や位置等のデータ
- b) INV_* テーブル: 建設時期、層構造、材料、施工に関するデータ
- c) MNT_*, RHB_* テーブル: 補修や維持の履歴に関するデータ
- d) MON_* テーブル: ひび割れ、すべり、横断プロファイルに関するデ ータ
- e) SMP_* テーブル: セクションの温度等の記録

f) SPS_* テーブル:

SPS セクションの材料、構造、施工に関するデータ

g) TRF_* テーブル:

交通量に関するデータ

h) TST_* テーブル: 材料試験に関するデータ

等、DATAPAVE97 の中心的なデータベースである。 本報告も IMS_80 データベースのデ - タを中心に、 抽出、分析を行ったものである。

2.わだち掘れデータ

(1)わだち掘れデータの概要

DATA_PAVE におけるわだち掘れの計測データは、IMS_80 データベースの中のテーブルMON_RUT_X_Y に記録されている。テーブルの情報は、1行に Shrp_ID、State_Code 等の基本的なデータとともに、測定時期、横断プロファイルの測定データ、測定点の横断距離等のデータが各フィールドに記録されている。代表的なセクションのデータ例を図・1に示した。

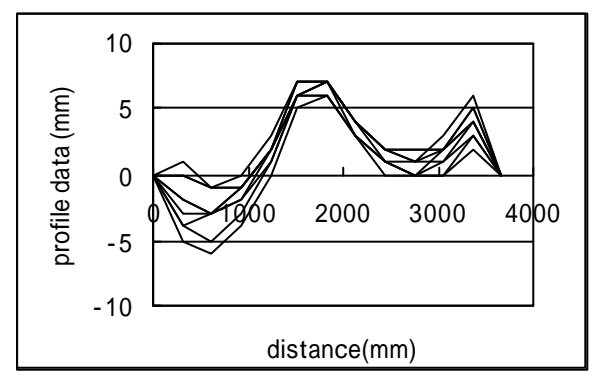


図-1 横断プロファイル測定データ

横断プロファイルデ - 夕は、各セクションで 1 回の測定毎に、150m 程度の区間につき 11 ~ 30 点ある。MON_RUT_X_Y の総デ - 夕は 26,517 行である。

同一の箇所を複数年測定した場合には、複数行に渡って記録されている。MON_RUT_X_Y のデータには、各セクション毎に1~11年のデ-タが記録されているが、1年しかデ-タがないセクションが相当数ある。各セクションでわだち掘れの調査回数の分布を図-2に示す。

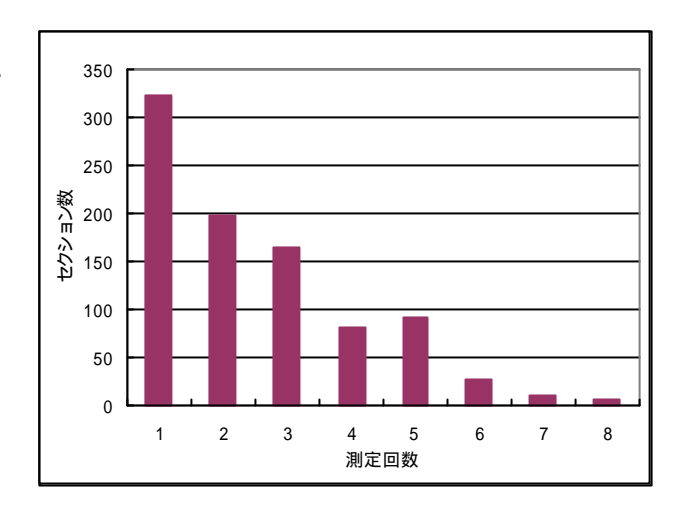


図 - 2 調査回数の分布

(2)最大わだち掘れ深さ

測点毎の横断プロファイルから最大わだち掘れ深さを求め、各セクションの平均わだち掘れ深さを求めた。これから最終調査時点でのデータを抽出して表 - 1、図 - 3に示した。

最終調査時点のわだち掘れ測定結果を抽出すると、データ行数は 783 となる。これから得られる平均わだち掘れ深さは平均で 7.2mm であり、10mm 以下のセクションが 81.2 %を占める。

表 - 1 各セクションのわだち掘れ深さ

N	わだち掘れ深さ(mm)					
	最大値	最小値	平均值	標準偏差		
783	33.1	0.6	7.2	4.7		

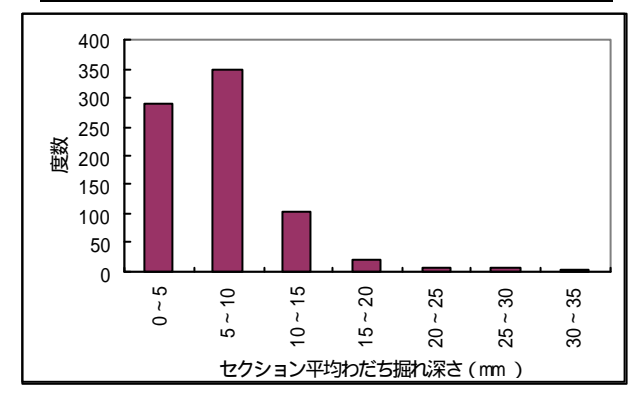


図 - 3 平均わだち掘れ深さの分布

3. 各セクションの供用日数

各セクションの供用日数は、IMS_80 データベースの中のテーブル INV_AGE に記録されている、供用開始日及び最新の測定日とから求められる。供用開始年を図 - 4 に、最終測定日までの供用日数を図 - 5 に示した。

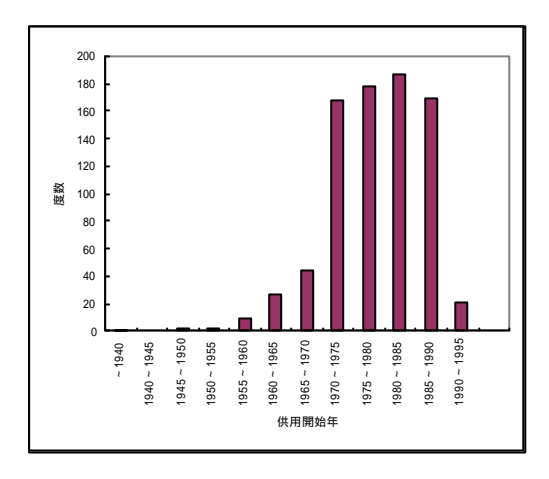


図 - 4 各セクションの供用開始年

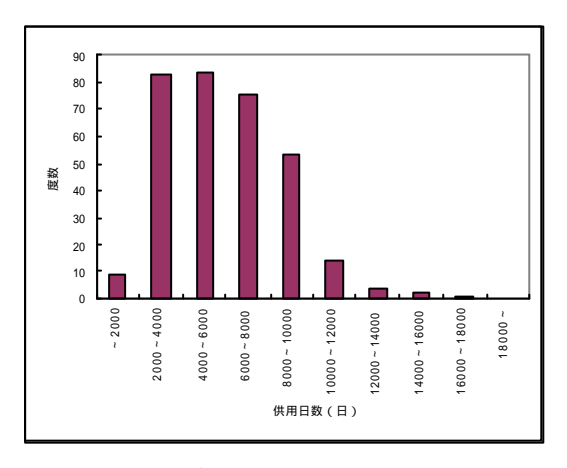


図 - 5 各セクションの供用日数

供用開始は 1970 ~ 80 年代のものが中心である。 また、データベースでは供用開始に関わるデ - タは SPS セクションのものが欠落しており、時系列で評 価が必要な場合には、GPS セクションのみを対象と する。

4. 気候条件

LTPP では、気候条件により各セクションを DF (DRYFREEZE), WF(WET FREEZE), DNF(DRYNO FREEZE), WNF(WET NO FREEZE)の4種類の気候 地域に分類している。DATA PAVE97では、DP_80 データベース内のテーブル Dp_climate の中に各セク ションと Weather Station とのリンク、測定年数、平 均年間降水量、年間凍結指数、気象地域区分、凍結 融解サイクル、90F(32)以上の日数、32F(0 下の日数等が記録されている。

(1)90F以上の年間日数

及び 32F(0)以下の日数をとりまとめて図 - 6, 7に示した。

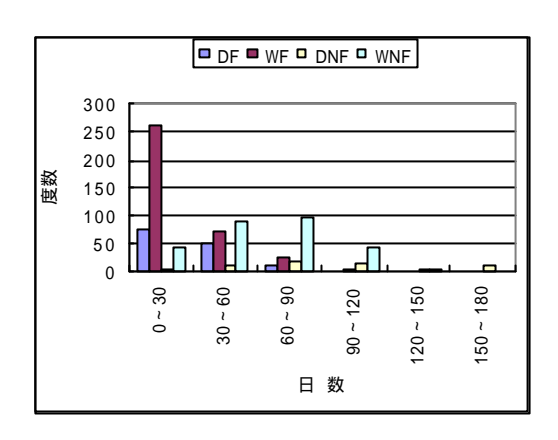


図 - 6 90F以上の年間日数

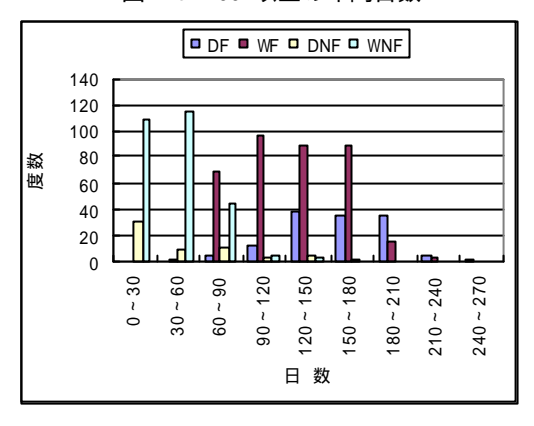


図 - 7 32F以下の年間日数

(2)気象区分毎のわだち掘れ深さ

MON RUT X Y から算出した最終調査時点の平 均わだち掘れ深さを、90F 以上の日数と対比して図 - 8 に示した。気象区分とわだち掘れデータの関係 がとれるデータは304である。

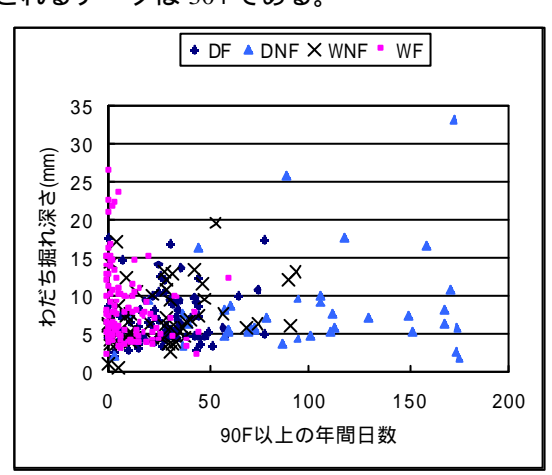


図 - 8 90F以上の日数とわだち掘れ深さ 図 - 8 から DNF 地域で数点大きなわだち掘れがあ 各セクションで、年間に出現する 90F(32)以上 るが、気候区分に関わらずわだち掘れ深さは概ね 20mm 程度以内に集中している。

(3)気象区分毎のわだち掘れ経時変化の例

わだち掘れの経時変化の例を気象区分毎に図 - 9 ~ 1 2 に示した。

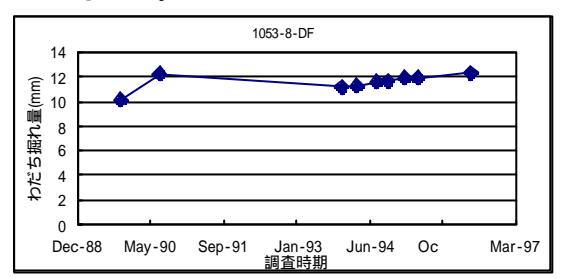


図 - 9 わだち掘れの経時変化(DF)

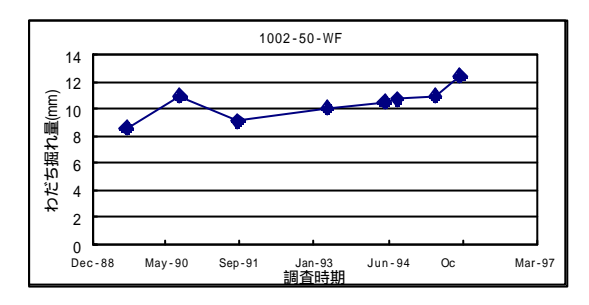


図 - 10 わだち掘れの経時変化(WF)

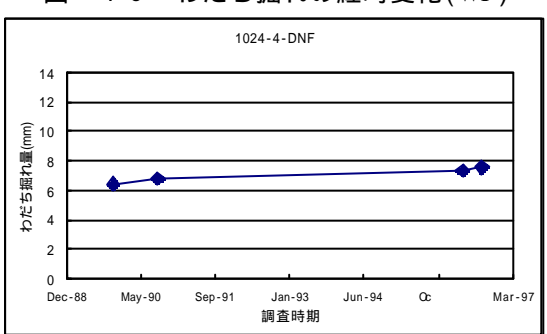


図 - 11 わだち掘れの経時変化(DNF)

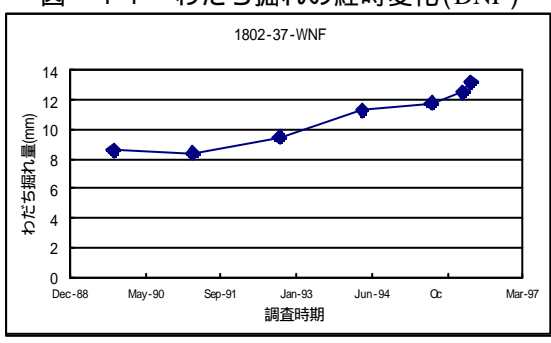


図 - 12 わだち掘れの経時変化(WNF)

5.交通量

(1)交通量デ-タの概要

交通量のデ・タは、IMS_80 データベースのテーブル TRF_EST_ANL_LTPP_LN に年平均日交通量、年平均日平均大型交通量、年間 Kesal_18k 等のデ・タが記録されている。年間 Kesal_18k の供用期間中の平均値の分布を図・13に示した。

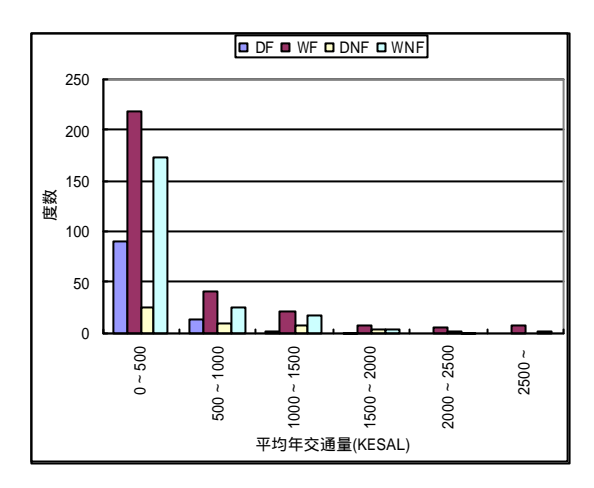


図 - 13 平均年交通量(Kesal_18k)

(2)交通量とわだち掘れの関係

TRF_EST_ANL_LTPP_LN の 平均年交通量 (Kesal_18k)と、3項に示した供用日数から供用期間中の総交通量を計算し、わだち掘れ深さと対比して、図 - 14~17に示した。

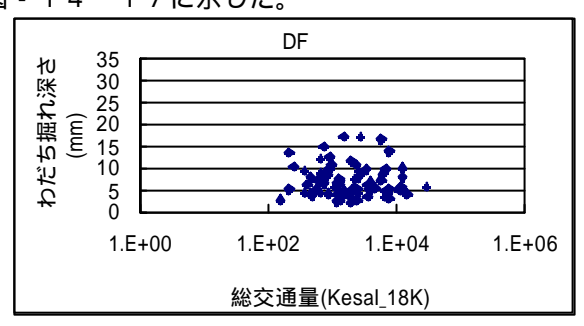


図 - 14 総交通量とわだち掘れ(DF)

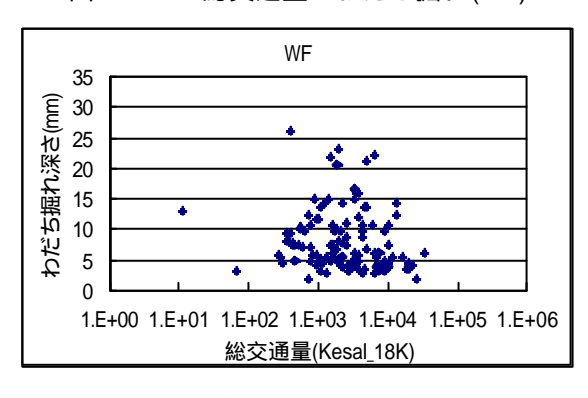


図 - 15 総交通量とわだち掘れ(DF)

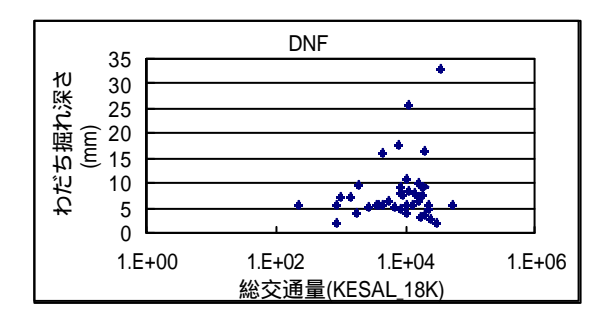


図 - 16 総交通量とわだち掘れ(DNF)

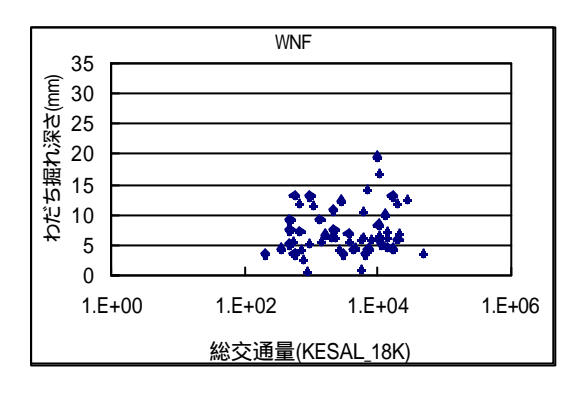


図 - 17 総交通量とわだち掘れ(WNF)

6.材料に関するデ-タ

(1) アスファルトに関するデ-タ

IMS_80 データベースの INV_PMA_ASPHALT テーブルの中で、各セクションの各層でで使用された、アスファルトの諸性状が記録されている。記録されている性状は、比重、粘度(140F, 275F)、針入度(77F)、伸度(77F,39F)、軟化点である。

アスファルトの性状デ - タではデ - タの欠損が数多 くみられる。これらのデ - タの中で、わだち掘れと 対応がとれる表層のデ - タを以下に示した。

表 - 2 使用アスファルトの性状

		全体	DF	WF	DNF	WNF
	N	136	46	55	16	19
ж ⊢ ст-	最大値	6957	5316	2366	6957	6842
粘度	最小値	263	263	288	944	1224
(140F)	平均値	1783.1	1535.4	1655.4	2034.3	2540.8
	標準偏差	1059.3	1061.9	534.5	1536.9	1379.5
	N	128	45	50	9	24
¥ F 	最大値	2400	669	505	2400	1817
粘度	最小値	102	136	140	102	133.47
(275F)	平均値	364.9	305.2	347.3	574.7	434.7
	標準偏差	257.3	115.4	95.1	726.3	327.9
	N	167	57	58	22	30
針入度	最大値	265	265	264	103	97
ェバス (77F)	最小値	26	45	59	39	26
(111)	平均値	97.1	108.3	104.7	78.9	74.3
	標準偏差	41.6	44.3	46.7	18.8	20
	N	10	3	1	2	4
針入度	最大値	77	49	77	30	31
	最小値	15	15	77	20	17
(39F)	平均值	31.4	27.7	77	25	26
	標準偏差	18.8	18.6	1	-	6.2
	N	2	-	2	-	-
また / レート	最大値	122	-	122	-	_
軟化点 (F)	最小値	115	-	115	-	
(I ⁻)	平均値	118.5	-	118.5		_
	標準偏差	-	-	_	-	-

(2)合成粒度

IMS_80 データベースの INV_Gradation に各セクションの層毎の合成粒度が記録されている。デ・タの中から、表層を抽出し、わだち掘れと対応がとれるセクションについて、表・3、図・18~21に示した。

表 - 3 混合物の粒度

		全体	DF	WF	DNF	WNF
	N	147	48	44	22	33
1/2_passi	最大値	100.0	100.0	100.0	100.0	100.0
	最小値	51.0	51.0	55.0	68.0	71.0
ng	平均値	91.2	92.0	94.2	84.3	90.7
	標準偏差	10.5	9.5	10.6	10.7	9.9
	N	151	49	50	23	29
NO.4_pas	最大値	100.0	97.0	98.0	60.0	100.0
sing	最小値	29.0	29.0	35.0	30.0	44.0
Silly	平均値	57.7	56.6	60.8	49.0	60.8
	標準偏差	11.8	11.7	11.4	7.8	12.2
	N	117	32	38	21	26
NO.8_pas	最大値	90.0	77.0	56.0	46.0	90.0
sing	最小値	12.0	15.0	18.0	12.0	32.0
Silly	平均値	43.1	41.8	44.9	36.0	47.9
	標準偏差	11.8	13.9	7.9	10.7	12.1
	N	164	55	52	23	34
NO 200 p	最大値	12.0	12.0	8.8	6.0	11.0
NO.200_p	最小値	1.0	1.0	3.0	1.0	1.0
assing	平均值	5.4	6.4	5.2	3.9	5.1
	標準偏差	1.8	1.8	1.4	1.3	1.9

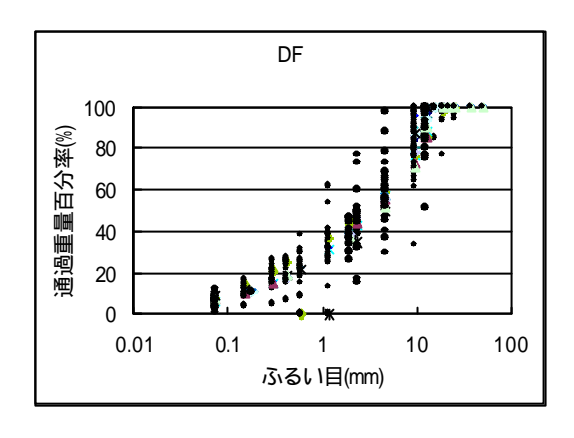


表 - 18 表層の合成粒度(DF)

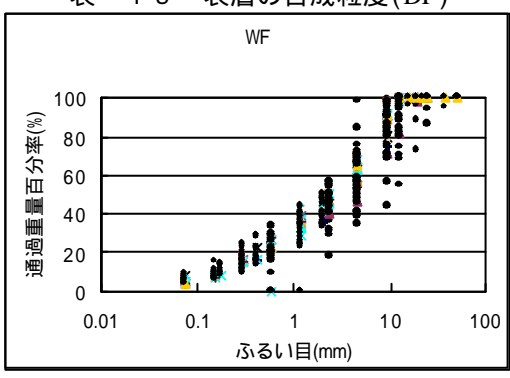


図 - 19 表層の合成粒度(WF)

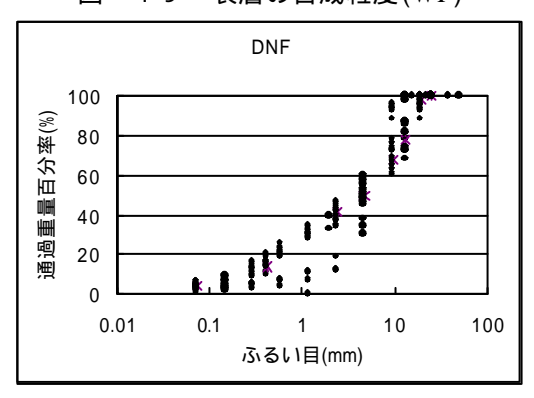


図 - 20 表層の合成粒度(DNF)

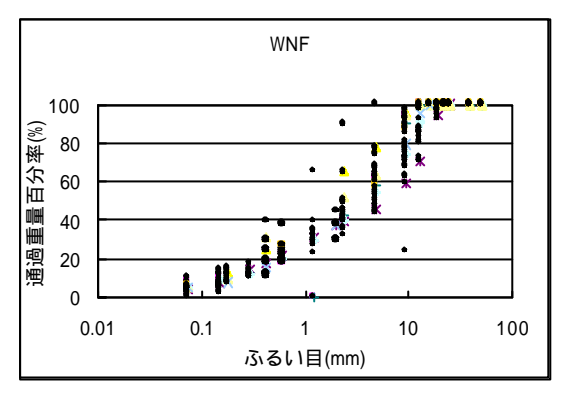


図 - 2 1 表層の合成粒度(WNF)

(3)表層混合物の性状

IMS_80 データベースの INV_PMA_Org_Mix テーブルに、各層の混合物の諸性状が記録されている。テーブルには、各セクションで、層毎に平均アスファルト量(%)、平均空隙率(%)、骨材間隙率(%)、マーシャル安定度(lbf)、マーシャルフロー(in)、ビーム安定度(lbf)が記録されている。混合物の評価方法は必ずしも一定ではなく、データの欠損が多いが、わだち掘れ量と対応がとれるデータを表ー4に示した。

表 - 4 混合物の性状

		全体	DF	WF	DNF	WNF
W407777	N	183	54	62	17	37
	最大値	7.5	7.5	7.1	7.0	7.0
平均アスファ ルト量(%)	最小値	3.5	5.0	3.9	4.2	4.7
ルロ重(///)	平均値	5.8	5.9	5.8	5.4	5.7
	標準偏差	0.7	0.5	0.7	0.7	0.6
	N	170	54	62	17	37
	最大値	17.0	9.8	10.8	8.4	17.0
平均空隙率(%)	最小値	0.2	1.4	0.2	1.2	2.1
	平均値	5.4	4.8	5.3	4.6	6.9
	標準偏差	2.4	2.0	2.2	1.5	3.0
	N	96	23	38	12	22
	最大値	29.2	22.6	22.3	17.4	29.2
骨材間隙率(%)	最小値	4.5	11.7	4.5	13.2	5.3
	平均値	16.6	15.8	16.1	15.4	19.1
	標準偏差	3.6	2.6	2.8	1.3	5.5
	N	67	21	31	3	9
マーシャル安	最大値	8820	2574	8820	3752	2482
マージャル女 定度(lb)	最小値	654	654	1200	1560	800
<i>足</i> 浸(ID)	平均値	2073.8	1798.2	2384.1	2383.0	1520.3
	標準偏差	1046.7	519.9	1327.8	1193.7	516.1
	N	65	21	29	3	9
マーシャルフ	最大値	18	16	18	11	10
ロー(0.01in)	最小値	7	7	8	10	7
— (0.01III)	平均値	11.4	11.4	12.6	10.3	8.6
	標準偏差	2.4	2.2	2.2	0.6	1.0
	N	64	22	10	11	20
	最大值_	56	44	46	45	56
ビーム安定度	最小値	13	26	13	33	25
	平均値	38.3	36.7	29.1	41.3	42.8
	標準偏差	8.0	4.8	11.2	3.6	6.6

7.わだち掘れと各因子の関係

2 - (2)項で示したわだち掘れ量を、総交通量で除 して、単位交通量 (Mesal_18k=10 Kesal_18k)当たり のわだち掘れ量を算出して、表 - 5 に示した。

表-5 単位交通量当たりわだち掘れ量

I			全体	DF	WF	DNF	DNF
	N		302	82	123	41	56
	最大値	mm/Me sal	137.5	58.9	137.5	22.5	29.6
	最小値		0.1	0.4	0.1	0.1	0.1
	平均值		7.9	9.0	10.2	1.8	5.1
ı	標準偏差		13.9	12.5	18.1	3.7	7.0

以下単位交通量当たりのわだち掘れ量と、代表的な因子について、単位交通量とのデ-タの対応がとれるものを抽出し、傾向を図-22~28に示した。データの対応状況は因子によってデータの欠落の状況が異なるため、因子毎に差がある。

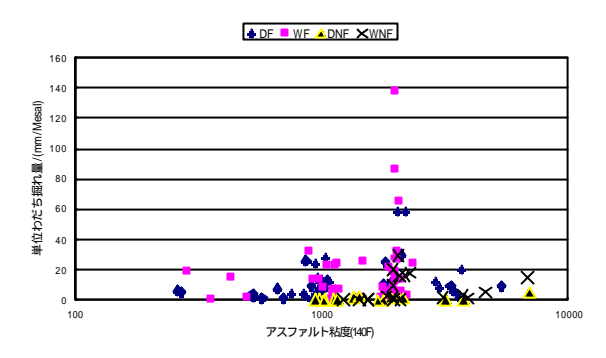


図 - 2 2 アスファルト粘度と単位わだち掘れ量

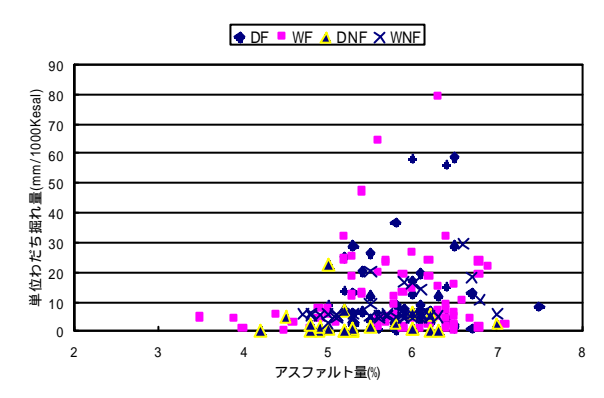


図 - 23 アスファルト量と単位わだち掘れ量

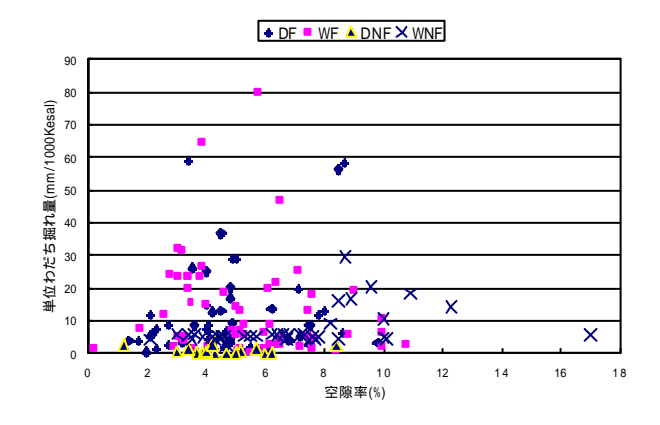
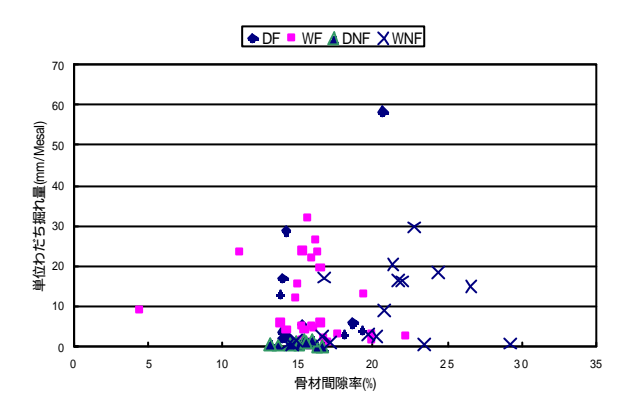


図 - 2 4 空隙率と単位わだち掘れ量



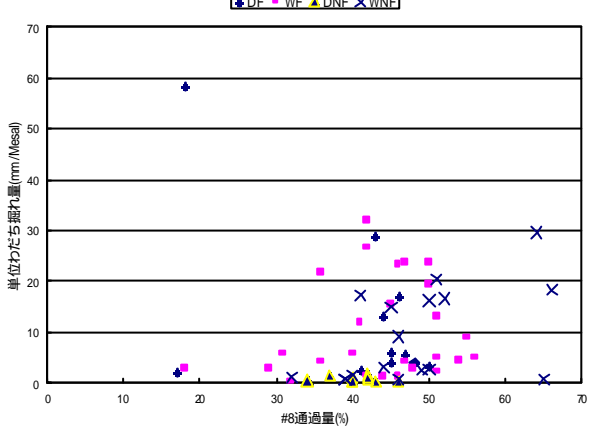


図 - 26 #8 通過量と単位わだち掘れ量

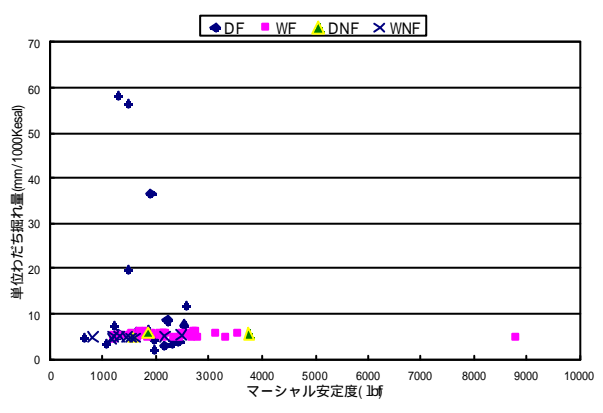


図 - 27 マーシャル安定度と単位わだち掘れ量

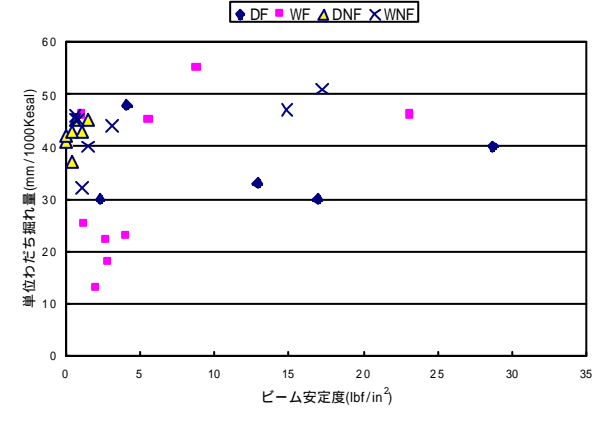


図 - 28 ビーム安定度と単位わだち掘れ量

図 - 22~28で示した因子について、単位交通 量当たりのわだち掘れ量との関係の解析を試みたが、 回帰分析の結果から有意な因子は無い。わだち掘れ に関して、単独で支配的な要因はないといえる。ま た特に材料の因子についてはデ-タの欠損が多く、 複数の因子の影響を検討する場合に全てのデ-タセットが揃うものはほとんどない状態であった。

8.まとめ

DATA PAVE の中にはわだち掘れに限らず膨大な量のデ・タが記録されている。このデ・タを有効に活用することは、舗装の長期耐久性の評価の上からも重要なことである。

LTPP プログラムにおけるアスファルト舗装のわだち掘れに焦点を当てて、DATA PAVE97を元に、わだち掘れの実態とその因子について検討を行った。

その結果、わだち掘れやそれに影響を与える因子の実態については、概ね解明することが出来たと考えている。

ただ、デ・タの欠損が多いことと、流動わだち掘れに影響を与える混合物の物理性状のデ・タがマーシャル試験あるいはビーム安定度試験程度しかなく、また地区によって統一されていない状況にある。また、複数の因子を説明変数としてを抽出すると、混合物の物理性状のデ・タが各気候地域で数点しか揃わず、重回帰分析等の手法も採用できなかった。このため、各因子の影響の程度に言及することは不可能となった。

わだち掘れに影響を与える因子としては、今回使用した因子以外にも、層構造、舗装温度、車両の速度、車両軌跡の集中度等多岐に渡る。わだち掘れは温度と速度をパラメータとしたクリープ変形の以累積値と考えられるが、理論的な解析を行う上では累まだ情報量が不足している。実態調査から何には、力学的な解析とともに、かの成果を得るためには、力学的な解析とともに、がのような処理が中心にならざるを得ない。我が国に対して、どのような因子の組み合わせが妥当か、あるいはデータの継続性をいかに確保するかが特に重要である。

参考文献

1) Tuner-Fairbank Highway Reserch Center: Long-Term Pavement Performance Information Management System Data Users Guide

THE ANALISYS OF RUTTING OF THE LTPP PROGRAM IN THE UNITED STATES

Fujio YUGE, Masahiko ISHITANI, Shuichi KAMEYAMA and Atsushi KASAHARA

Since 1987, the LTPP (Long Term PavementPerformance) program had been implemented in the US aspart of the SHRP (Strategic Highway Research Program). After the termination of the SHRP in 1992, the FHWA (Federal Highway Administration) continued the research and collection of data on the LTPP program, as this program is a 20-year-term plan. This report focuses on the rutting of asphalt pavement, as recorded on the DATA PAVE97 - compiling achievements obtained by the FHWA during this program -- and presents results of study regarding the real status of rutting and relevant factors.